

**BANQUE D'ÉPREUVES DUT-BTS**

**— SESSION 2007 —**

**ÉPREUVE DE MÉCANIQUE**

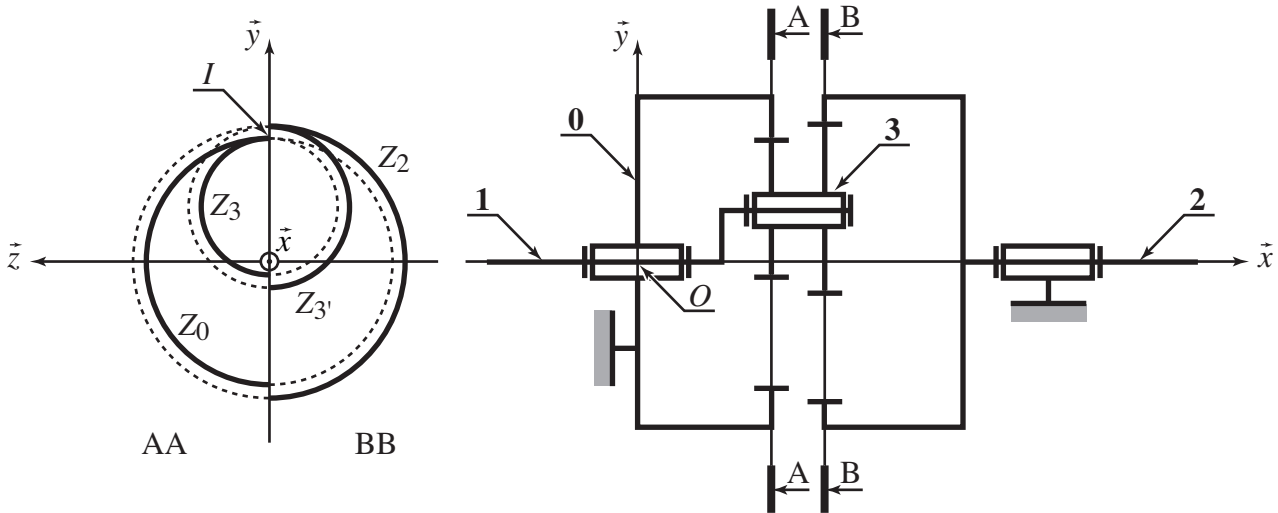
**CODE ÉPREUVE : BE-MÉCA**

**CALCULATRICE INTERDITE**

**DURÉE : 2H30**

## Exercice 1

On considère le réducteur épicycloïdal de la **Figure 1**, schématisé par quatre solides (**0,1,2,3**). On suppose que l'arbre d'entrée est le solide **1** et l'arbre de sortie le solide **2**. Le repère  $R_0 = (O, \vec{x}, \vec{y}, \vec{z})$ , lié au solide **0**, est fixe. Le référentiel correspondant est supposé galiléen. Ce réducteur comporte deux engrenages : un premier, composé d'une couronne à  $Z_0$  dents liée **0** qui engrène sur un pignon à  $Z_3$  dents lié au satellite **3** ; un second, composé d'une couronne à  $Z_2$  dents liée **2** qui engrène sur un pignon à  $Z_{3'}$  dents lié au satellite **3**. On note  $\vec{\Omega}(i/j) = \omega(i/j)\vec{x}$  le vecteur vitesse de rotation du solide **i** par rapport au solide **j**.



**Figure 1** • Réducteur épicycloïdal

- (A) Si le contact entre les dents des engrenages est modélisé par une liaison cylindre-plan (anciennement linéaire-rectiligne), le modèle tridimensionnel du réducteur est hyperstatique de degré 1.
- (B) Si le contact entre les dents des engrenages est modélisé par une liaison sphère-plan (anciennement ponctuelle), le modèle tridimensionnel du réducteur est isostatique.
- (C) Le rapport de réduction du réducteur est :

$$\frac{\omega(2/0)}{\omega(1/0)} = 1 - \lambda \quad \text{avec} \quad \lambda = \frac{Z_0 Z_{3'}}{Z_3 Z_2}$$

- (D) Si le référentiel lié au solide **0** n'avait pas été galiléen, le rapport de réduction précédent aurait été modifié.
- (E) Dans les trains épicycloïdaux, on préfère généralement utiliser trois satellites afin d'équilibrer les efforts radiaux sur les couronnes. Dans ce cas, le rapport de réduction est divisé par 3.

## Exercice 2

On reprend le réducteur de la question précédente et on note  $G_i$  le centre de gravité,  $m_i$  la masse et  $I_i$  le moment d'inertie par rapport à l'axe  $(G_i, \vec{x})$  du solide **i**. On note  $I$  le point particulier où il y a roulement sans glissement entre **3** et **0**. On suppose que les actions mécaniques extérieures exercées sur le solide **1** et sur le solide **2** se résument respectivement au point  $O$  à un couple  $\vec{C}_1 = C_1 \vec{x}$  et à un couple  $\vec{C}_2 = C_2 \vec{x}$ .

- (A) Le mouvement du satellite **3** par rapport au bâti **0** est une translation circulaire.  
 (B) La condition de roulement sans glissement en  $I$  du solide **3** par rapport au solide **0** se traduit par :

$$\vec{V}(I, 3/0) = \vec{\Omega}(3/0) \wedge \vec{OI} = \vec{0}$$

- (C) L'énergie cinétique du satellite **3** dans son mouvement par rapport à **0** est :

$$T(3/0) = \frac{1}{2} I_3 \omega^2(3/0) + \frac{1}{2} m_3 \vec{V}^2(G_3, 3/0)$$

- (D) Si l'on suppose que toutes les liaisons sont parfaites, la relation qui lie le couple de sortie au couple d'entrée est :

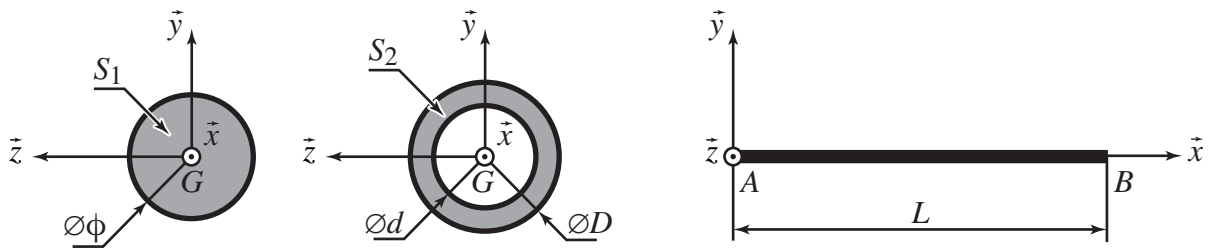
$$\frac{C_2}{C_1} = \frac{1}{\lambda - 1}$$

- (E) Soit  $A$  un point quelconque. Le moment dynamique du solide **3** dans son mouvement par rapport à **0**, exprimé en  $A$ , noté  $\vec{\delta}(A, 3/0)$ , est relié au moment cinétique exprimé en  $A$ , noté  $\vec{\sigma}(A, 3/0)$ , par la relation :

$$\vec{\delta}(A, 3/0) = \left( \frac{d\vec{\sigma}(A, 3/0)}{dt} \right)_{R_0} + m_3 \vec{V}(A, 3/0) \wedge \vec{V}(G_3, 3/0)$$

### Exercice 3

Un des critères de dimensionnement prépondérant dans l'industrie aéronautique est de maximiser la puissance massique, c'est-à-dire réduire au maximum la masse des constituants utilisés pour transmettre une puissance donnée. La **Figure 2** représente un arbre en acier de module d'Young  $E$ , coefficient de Poisson  $\nu$  et masse volumique  $\rho$ . Cet arbre est modélisé par une poutre droite de longueur  $L$ , sollicitée par un couple  $-C\vec{x}$  à son extrémité  $A$  et un couple  $C\vec{x}$  à son autre extrémité  $B$ . On se propose de montrer l'intérêt d'avoir recours à un arbre tubulaire (section  $S_2$  de diamètre intérieur  $d$  et de diamètre extérieur  $D$ ) plutôt qu'à un arbre plein (section  $S_1$  de diamètre  $\phi$ ).



**Figure 2** • Arbre en torsion — section pleine  $S_1$  ou creuse  $S_2$

- (A) Le module de cisaillement  $G$  du matériau peut s'exprimer en fonction du module d'Young  $E$  et du coefficient de Poisson  $\nu$  par l'expression suivante :

$$G = \frac{E}{2(1 - \nu^2)}$$

(B) Le moment quadratique  $I_2$  de la section creuse  $S_2$  par rapport à l'axe  $(G, \vec{x})$  est :

$$I = \rho \frac{\pi}{32} (D^4 - d^4)$$

(C) La contrainte maximale dans la section  $S_2$  est atteinte sur le diamètre moyen  $\frac{d+D}{2}$ .

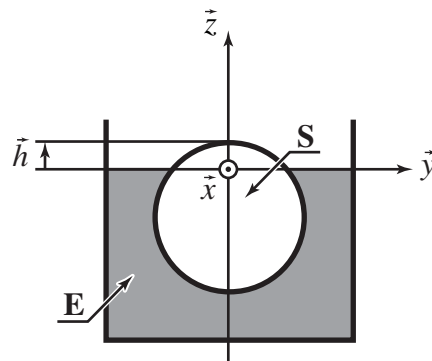
(D) Pour une déformation angulaire identique sous l'action du couple  $C$ , le rapport entre la masse  $m_2$  d'un arbre de section creuse  $S_2$  et celle  $m_1$  d'un arbre de section pleine  $S_1$  peut être exprimé en fonction du ratio  $\varepsilon = d/D$  par la relation :

$$\frac{m_2}{m_1} = \frac{1 - \varepsilon^2}{\sqrt{1 - \varepsilon^4}}$$

(E) Pour une déformation angulaire identique sous l'action du couple  $C$ , l'utilisation d'une section creuse  $S_2$  avec  $\varepsilon = 0,9$  permet de diviser par 10 la masse de l'arbre par rapport à l'utilisation d'une section pleine comme  $S_1$ .

## Exercice 4

La **Figure 3** représente une sphère **S** de rayon  $R$ , immergée dans un récipient rempli d'eau **E**. On note  $\rho_S$  la masse volumique du matériau constitutif de la sphère et  $\rho_E$  la masse volumique de l'eau. L'accélération de la pesanteur est  $\vec{g} = -g\vec{z}$  et on suppose que la pression atmosphérique est négligeable. On s'intéresse à la position d'équilibre de la sphère dans le récipient, et notamment à la position relative entre la surface de l'eau et le sommet de la sphère, repéré par  $\vec{h} = h\vec{z}$ .



**Figure 3** • Équilibre d'une sphère immergée

- (A) Si la pression atmosphérique n'avait pas été négligée, une augmentation de 10 % de celle-ci aurait conduit à une diminution de 10 % de  $h$ .
- (B) Si  $\rho_S = \rho_E$ , alors  $h = 0$ .
- (C) Si  $\rho_S > \rho_E$ , alors  $h > 0$ .
- (D) Si  $0 \leq h \leq R$ , le volume  $v$  de la calotte sphérique qui émerge de l'eau est :

$$v = \pi h^2 \left( R - \frac{h}{3} \right)$$

(E) Si  $\rho_S < \rho_E$ , alors la hauteur  $h$  peut être déterminée en utilisant la relation :

$$h^2 \left( R - \frac{h}{3} \right) = \frac{4}{3} R^3 \left( 1 - \frac{\rho_E}{\rho_S} \right)$$

## Exercice 5

- (A) Un matériau isotrope présente les mêmes caractéristiques mécaniques en tout point de la matière.
- (B) Le bronze est un alliage de cuivre et d'étain.
- (C) Dans un acier faiblement allié, aucun des éléments d'addition ne dépasse une teneur de 5 %.
- (D) La trempe d'un acier a pour effet d'augmenter sa résistance à la rupture sans modifier sa limite élastique.
- (E) Un essai de fluage consiste à étudier la déformation d'une éprouvette au cours du temps sous l'action d'efforts appliqués constants.

## Exercice 6

L'assemblage représenté sur la **Figure 4** permet une translation entre une tige **1** de diamètre  $d$  et un coulisseau **2** de diamètre  $d + j$  et de longueur  $\ell$ . On suppose que le jeu  $j$ , bien que négligeable devant  $d$  ( $j \ll d$ ), permet un basculement du coulisseau par rapport à la tige, ce qui conduit à considérer cet assemblage comme l'association en parallèle de deux liaisons sphère-plan, en  $A$  et  $B$ . Le contact est modélisé en utilisant la modèle de Coulomb et on note  $f$  le coefficient de frottement. Enfin, le coulisseau est soumis à un glisseur  $\vec{F} = -F\vec{y}$  ( $F > 0$ ) dont l'axe central est distant de  $L$  de l'axe de la liaison. On se propose d'étudier le risque d'arc-boutement de cette liaison.

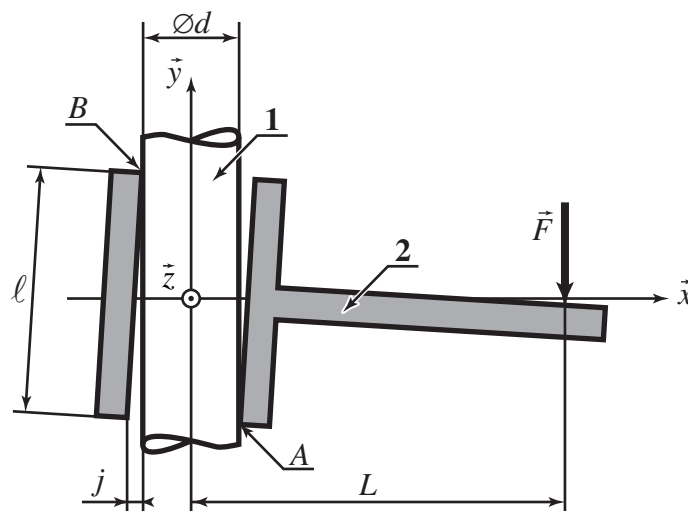


Figure 4 • Arc-boutement d'une liaison

(A) L'arc-boutement est un phénomène lié au frottement qui se traduit par un équilibre indépendant de l'intensité de l'action mécanique qui tendrait à le rompre.

(B) L'action mécanique exercée par **1** sur **2** au niveau du contact en *A* se traduit par un glisseur :

$$\vec{R}_A(1 \rightarrow 2) = N_A \vec{x} + T_A \vec{y} \quad \text{avec} \quad N_A > 0 \quad \text{et} \quad T_A > 0$$

(C) L'action mécanique exercée par **1** sur **2** au niveau du contact en *B* se traduit par un glisseur :

$$\vec{R}_B(1 \rightarrow 2) = -N_B \vec{x} - T_B \vec{y} \quad \text{avec} \quad N_B > 0 \quad \text{et} \quad T_B > 0$$

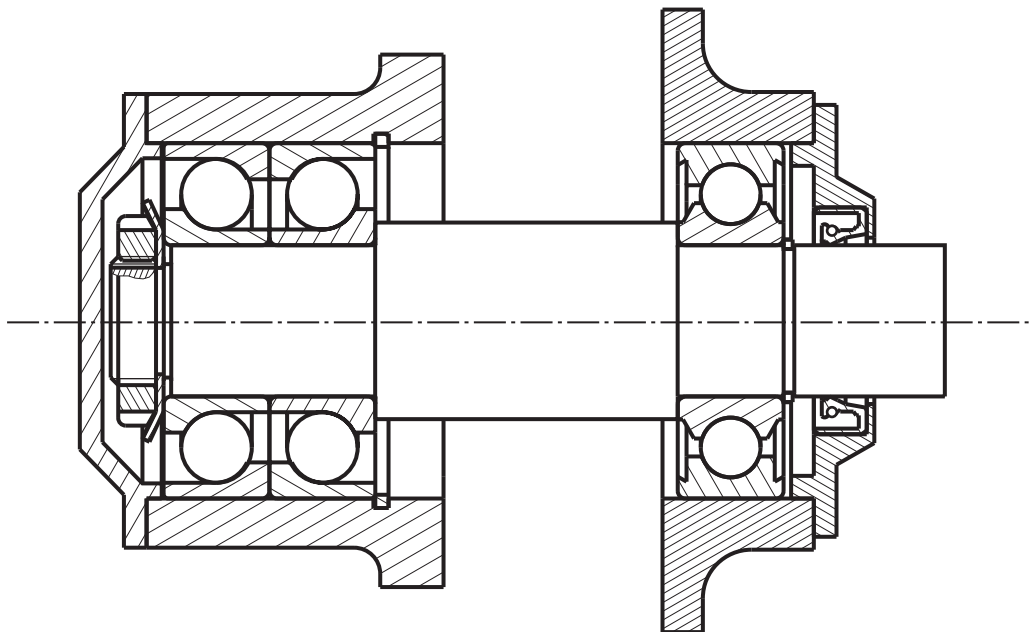
(D) Le modèle de la liaison est hyperstatique d'ordre 2.

(E) Si l'on suppose qu'on est à la limite du glissement au niveau d'un des contacts, on montre qu'il y a arc-boutement si :

$$L \geq \frac{\ell}{2f}$$

## Exercice 7

On se propose d'étudier le montage de roulements de la **Figure 5**.



**Figure 5** • Montage de roulements

(A) Les deux roulements à billes à contact oblique sont montés de façon à conférer une grande souplesse à la liaison et permettent d'encaisser une charge axiale importante.

(B) Le roulement rigide à billes, tel qu'il est monté, peut être modélisé par une liaison rotule.

(C) Si on modélise chacun des roulements à contact oblique par une liaison rotule et le roulement rigide à billes par une liaison sphère-cylindre, le modèle associé au montage de la **Figure 5** est hyperstatique d'ordre 2.

- (D) La liaison équivalente à ce montage est une liaison pivot.
- (E) Le joint à lèvres utilisé dans le montage est un joint V-ring.

## Exercice 8

On reprend le montage de roulements de la **Figure 5** et on s'intéresse plus particulièrement aux deux roulements à billes à contact oblique. Il est à noter qu'un jeu existe entre les deux bagues intérieures de ces roulements afin de permettre une précharge du montage.

- (A) Les roulements à billes à contact oblique sont disposés de façon à former un montage « en X ».
- (B) Un montage « en O » est toujours modélisé par une liaison pivot.
- (C) La précharge dans le montage de roulements à billes à contact oblique permet d'améliorer la précision du guidage en rotation.
- (D) La précharge dans le montage de roulements à billes à contact oblique augmente toujours la durée de vie du montage.
- (E) Un montage « en X » permet de reprendre une charge axiale, ce que ne permet pas un montage « en O ».

## Exercice 9

La **Figure 6** représente le schéma cinématique d'un joint de cardan constitué de trois solides (**E,I,S**) en mouvement par rapport à un bâti **B**. Le repère  $R = (O, \vec{x}, \vec{y}, \vec{z})$ , lié au bâti **B**, est fixe. Le référentiel correspondant est supposé galiléen. Les différents repères  $R_E = (O, \vec{x}_E, \vec{y}_E, \vec{z}_E)$ ,  $R_I = (O, \vec{x}_I, \vec{y}_I, \vec{z}_I)$  et  $R_S = (O, \vec{x}_S, \vec{y}_S, \vec{z}_S)$ , liés aux solides **E**, **I** et **S** sont représentés sur la **Figure 6**. On pose  $\theta_E = (\vec{y}, \vec{y}_E)$  mesuré autour de  $\vec{x}$ ,  $\theta_S = (\vec{y}_S, \vec{y}_I)$  mesuré autour de  $\vec{x}_S$  et l'angle de brisure  $\alpha = (\vec{x}_E, \vec{x}_S)$  mesuré autour de  $\vec{z}$ . On suppose que les actions mécaniques extérieures exercées sur le solide **E** et sur le solide **S** par des solides autres que le bâti se résument respectivement au point  $O$  à un couple  $\vec{C}_E = C_E \vec{x}_E$  et à un couple  $\vec{C}_S = C_S \vec{x}_S$ .

- (A) À partir de la condition  $\vec{y}_E \cdot \vec{y}_I = 0$ , la loi entrée sortie est donnée par :  $\tan \theta_S = -\cos \alpha \tan \theta_E$ .
- (B) Le mécanisme est homocinétique.
- (C) En considérant toutes les liaisons comme parfaites et les inerties négligeables, la relation qui lie le couple de sortie au couple d'entrée est :

$$\frac{C_S}{C_E} = -\frac{1 + \tan^2 \theta_E}{\cos \alpha (1 + \tan^2 \theta_S)}$$

- (D) On considère à présent deux joints de cardan montés en série. Le système est homocinétique.
- (E) Le système est homocinétique si les joints sont dans le même plan et que les angles de brisure sont égaux ou opposés.

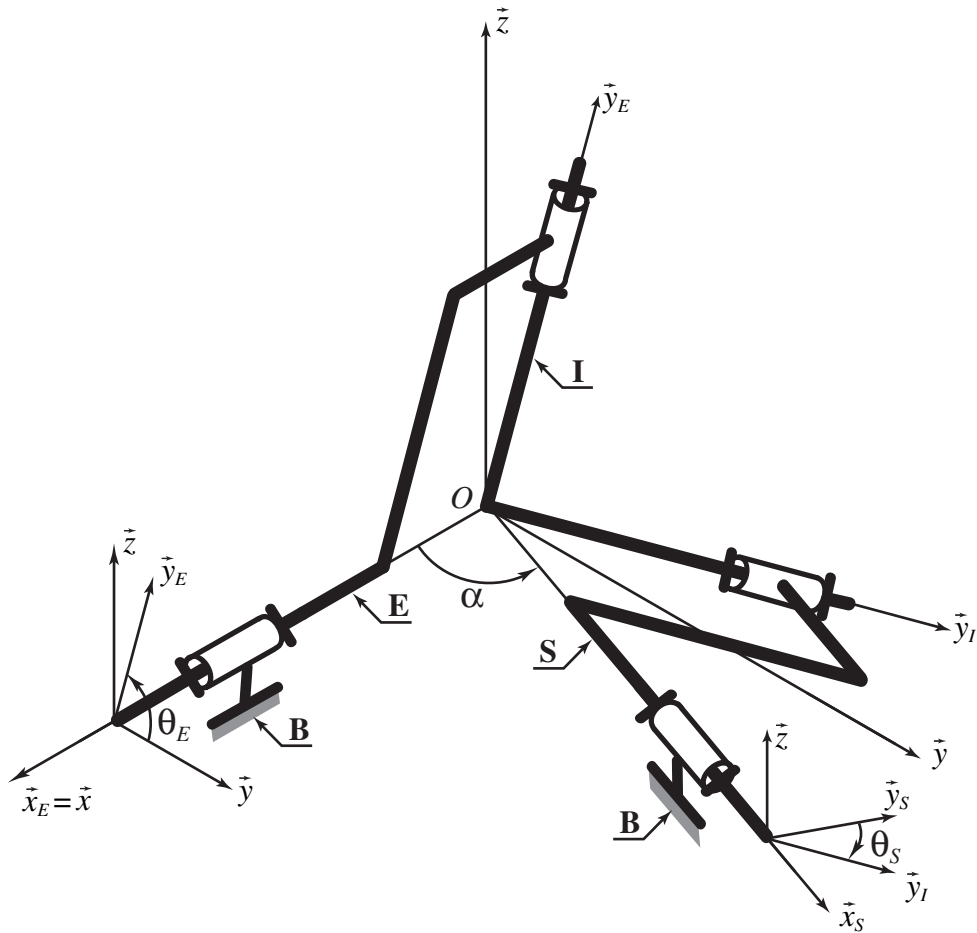


Figure 6 • Schéma cinématique et paramétrage du joint de cardan

### Exercice 10

On désire procéder à l'équilibrage d'une roue de véhicule  $r$ , en rotation par rapport au sol, par ajout sur la jante de deux masselottes  $m_1$  et  $m_2$ . Les données du problème sont les suivantes :

- le sol est muni d'un repère  $R_0 = (O, \vec{x}_0, \vec{y}_0, \vec{z}_0)$  ; le référentiel correspondant est supposé galiléen ;
- la roue  $r$  est munie d'un repère  $R = (O, \vec{x}, \vec{y}, \vec{z})$  et elle est en rotation à vitesse constante  $\omega$  autour de l'axe  $(O, \vec{z}_0) = (O, \vec{z})$  par rapport au référentiel  $R_0$  ;
- le bord de la jante est représenté par deux cercles de diamètre  $D$  distants du point  $O$  de  $\pm x_c \vec{z}$  ; ces cercles appartiennent à des plans perpendiculaires à l'axe de rotation de la roue ;
- on note  $G_r$  le centre de gravité de la roue  $r$  et on pose  $\vec{OG}_r = x_r \vec{x} + z_r \vec{z}$  ;
- les éventuelles masselottes  $m_1$  et  $m_2$ , utilisées pour équilibrer la roue, sont modélisées par des masses ponctuelles  $m_1$  et  $m_2$  situées en  $G_1$  et  $G_2$ , avec :

$$\vec{OG}_1 = x_1 \vec{x} + y_1 \vec{y} + z_1 \vec{z}$$

$$\vec{OG}_2 = x_2 \vec{x} + y_2 \vec{y} + z_2 \vec{z}$$

- la matrice d'inertie en  $O$  de la roue  $r$ , exprimée dans la base  $(\vec{x}, \vec{y}, \vec{z})$ , est :

$$I(O, r) = \begin{bmatrix} A & -F & -E \\ -F & B & -D \\ -E & -D & C \end{bmatrix}_{(\vec{x}, \vec{y}, \vec{z})}$$

- (A) L'ajout d'une seule masselotte fixée sur le bord de la jante permet d'obtenir l'équilibrage statique de la roue.
- (B) Le moment dynamique en  $O$  de l'ensemble  $S = \{\mathbf{r}, \mathbf{m}_1, \mathbf{m}_2\}$  dans son mouvement par rapport à  $R_0$  est :

$$\vec{\delta}(O, S/R_0) = m_1 \vec{OG}_1 \wedge \vec{\Gamma}(G_1/R_0) + m_2 \vec{OG}_2 \wedge \vec{\Gamma}(G_2/R_0) + \left( \frac{d}{dt} (I(O, S) \omega \vec{z}) \right)_{R_0}$$

- (C) L'équilibrage statique étant supposé réalisé, les équations à vérifier pour obtenir l'équilibrage dynamique sont :

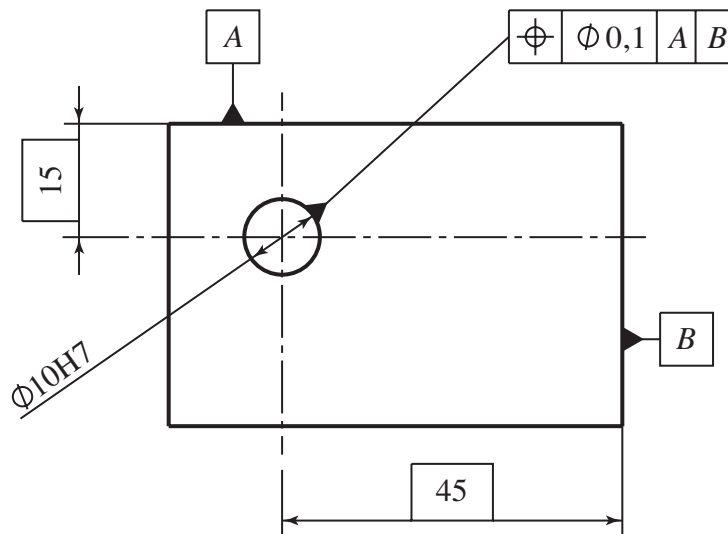
$$m_1 y_1 z_1 + m_2 y_2 z_2 + D = 0$$

$$m_1 x_1 z_1 + m_2 x_2 z_2 + E = 0$$

- (D) L'ajout d'une seule masselotte fixée sur la jante permet d'obtenir l'équilibrage dynamique de l'ensemble bien que l'utilisation de deux masselottes diamétralement opposées soit plus pratique.
- (E) Une roue mal équilibrée n'a aucune influence sur la durée de vie des roulements assurant le guidage en rotation de la roue mais a une influence sur l'usure des pneumatiques ainsi que sur le confort de conduite du véhicule.

## Exercice 11

On considère le plan donné sur la **Figure 7**.



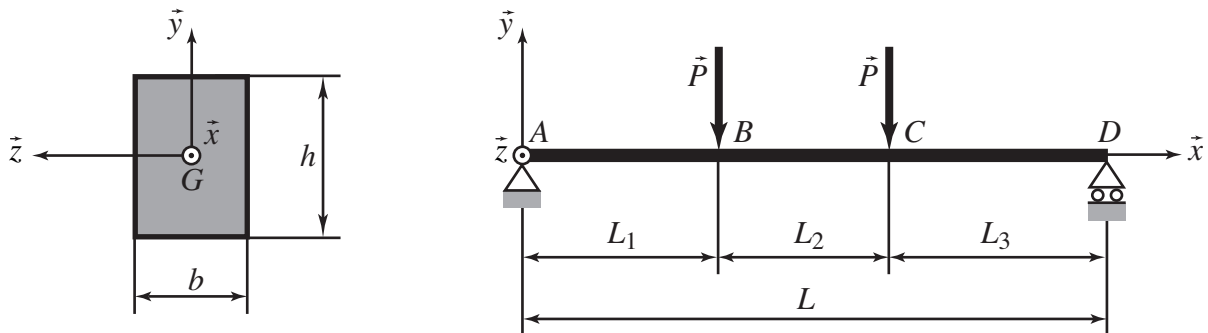
**Figure 7** • Spécification géométrique

- (A) L'élément tolérancé est le cylindre de diamètre 10 mm.
- (B) La zone de tolérance est cylindrique de rayon 0,1 mm.
- (C) L'élément de référence est une droite distante de 15 mm de la surface A et de 45 mm de la surface B. La surface A est le plan tangent extérieur matière associé à la surface réelle de la pièce minimisant le déplacement par rapport à celle-ci. La surface B est le plan tangent extérieur matière associé à la surface réelle de la pièce minimisant le déplacement par rapport à celle-ci et orthogonal à la surface A.

- (D) La spécification de localisation donnée impose implicitement un défaut de forme (ici cylindrique) inférieur à 0,05 mm.
- (E) Un ajustement de type H7/g6 correspond toujours à un montage avec jeu entre un arbre et un alésage.

## Exercice 12

On considère l'arbre en flexion 4 points représenté sur la **Figure 8**. La section de cet arbre est constante, rectangulaire de hauteur  $h$  et de largeur  $b$ . On suppose que cet arbre a un module d'Young  $E$ , un coefficient de Poisson  $\nu$ , et qu'il est modélisé par une poutre droite de longueur  $L$ , en appui à ses deux extrémités  $A$  et  $D$  et sollicitée en  $B$  et  $C$  par deux glisseurs  $\vec{P} = -\frac{F}{2}\vec{y}$ .



**Figure 8** • Arbre en flexion 4 points

- (A) Les réactions aux appuis  $A$  et  $D$  sont :

$$\vec{F}_A = F_A \vec{y} \quad \text{avec} \quad F_A = \frac{2L_3 + L_2}{L} \frac{F}{2}$$

$$\vec{F}_D = F_D \vec{y} \quad \text{avec} \quad F_D = \frac{2L_1 + L_2}{L} \frac{F}{2}$$

- (B) Le chargement entre les points d'appui  $A$  et  $D$  correspond à un chargement de flexion pure.

- (C) Si  $L_1 = L_2 = L_3 = \frac{L}{3}$ , le moment du torseur de cohésion entre les points  $B$  et  $C$  se réduit à :

$$\vec{M}_{coh} = \frac{F}{6} \vec{z}$$

- (D) À nouveau, si  $L_1 = L_2 = L_3 = \frac{L}{3}$ , la flèche  $v$  en milieu de poutre est donnée par :

$$v = -\frac{F L^2}{EI 16} \quad \text{avec} \quad I = \frac{bh^3}{12}$$

- (E) Il est possible d'utiliser la valeur de la contrainte calculée par la résistance des matériaux pour dimensionner la poutre au niveau de ses appuis.